

где ρ_0, q_0 — градиенты показателя преломления в точке наблюдения ($x=0, y=0$).

Как видно из полученной формулы (25), поправка за вертикальную рефракцию зависит от длины визирного луча l , вертикального ρ и горизонтального q градиентов показателя преломления, вычисленных только в точке наблюдения.

Список литературы: 1. Зелькович Я. Б., Маликис А. Д. Элементы прикладной математики. — М.: Наука, 1967. 2. Смирнов В. И. Курс высшей математики. — М.: Наука, 1974, т. 4.

Статья поступила в редакцию 27.03.84.

УДК 528.55

С. Н. ХОДОРОВ

О ВЫБОРЕ КОЭФФИЦИЕНТА ОБЕСПЕЧЕНИЯ ТОЧНОСТИ ПРИ МНОГОРАЗРЯДНОМ ПОСТРОЕНИИ ГЕОДЕЗИЧЕСКОГО ОБОСНОВАНИЯ МЕТОДОМ ТРИАНГУЛЯЦИИ

На крупных строительных объектах, при застройке больших жилых массивов и строительстве некоторых уникальных сооружений геодезическое обоснование может создаваться многоразрядными построениями. Качество априорной оценки точности таких построений в значительной степени определяется правильным выбором коэффициента понижения, или обеспечения точности [1]. В научно-технической геодезической литературе приводятся различные значения этого коэффициента — от 1,2 до 8,0. Вероятностное обоснование этого коэффициента выполнено в [2, 3], однако в практике проектирования инженерно-геодезических сетей интервал принимаемых для него значений довольно велик. Поэтому на настоящей работе ставится цель экспериментального определения оптимального значения коэффициента обеспечения точности k_e .

Для исследования составлена модель четырехразрядной сети, показанная на рисунке. Рассматриваются многоразрядные построения, предсталяемые триангуляцией, в которой все треугольники за-проектированы равносторонними, длины их сторон соответственно по очередям построения составляют 4,7, 2,7, 1,6 и 0,9 км. Средние квадратические ошибки измерения угла соответствующих построения согласно государственным инструкциям приняты равными $2'', 5'', 10''$ применительно к триангуляции 4 класса, I и II разрядов и $15''$ для съемочного обоснования. Исходными считаются пункты 1 и 2 с учетом безошибочности их положения.

Оценка точности принятой модели четырехразрядной сети произведена с учетом строгого уравнивания на ЭВМ ЕС-1022 по следующей схеме:

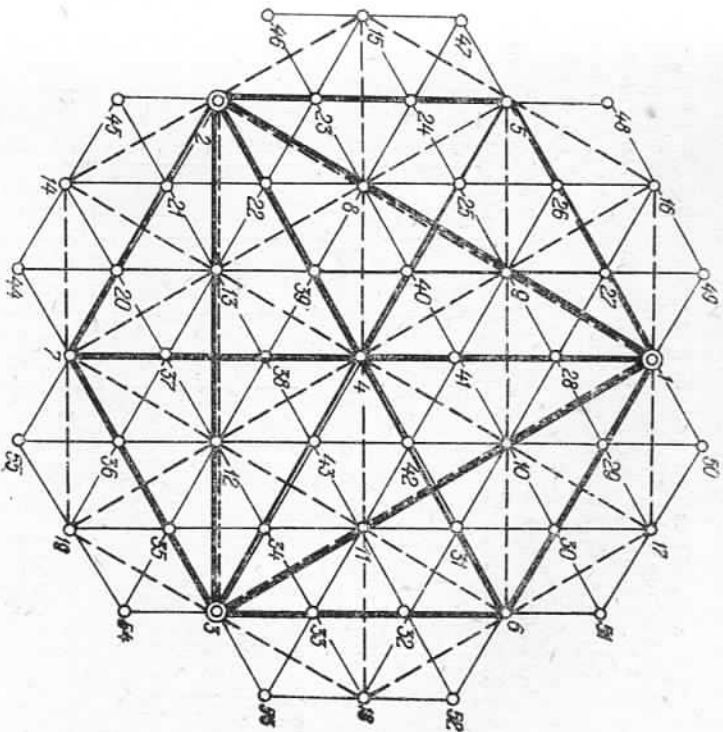
оценка точности I разряда;

совместная оценка точности сетей I и II разрядов;

совместная оценка точности сетей I, II и III разрядов;

совместная оценка точности сетей I, II, III и IV разрядов.

При этом для каждого последующего разряда учитывали ошибки предыдущих пунктов, полученные в предыдущих разрядах. Оценочные величины находили с помощью больших и малых полусосей эллипса ошибок и средних квадратических ошибок линий и их направлений. Если m_0 — ошибки исходных пунктов 1 и 2, а μ — средняя квадратическая ошибка единицы веса, отождествляемая со средней.



Модель четырехразрядной сети:

===== сеть I разряда; ----- сеть II разряда;

..... сеть III разряда; — сеть IV разряда.

Чем квадратической ошибкой измерения угла соответствующего разряда, то корреляционная матрица примет вид

$$Q_0 = \frac{m_0^2}{\mu_1^2}. \quad (1)$$

С учетом (1) нормальная матрица

$$N_1 = N_0 + A_1^T A_1, \quad (2) \quad \text{где} \quad N_0 = Q_0^{-1}, \quad (3)$$

Для I разряда сети

$$Q_1 = N_1^{-1}; \quad (4) \quad K_1 = \mu_1 \sqrt{Q_1}; \quad (5) \quad V = \mu_1 G^T Q_1 G, \quad (6)$$

где K — ковариационная матрица; V, G — матрицы взаимного положения пунктов и весовых функций. При формировании новой корреляционной матрицы Q_1' получаем

$$Q_1' = K_1^2 / \mu_2^2; \quad (7) \quad (N_1)^{\mu_2} = Q_1^{-1}. \quad (8)$$

Тогда для II разряда сети

$$N_2 = N_1 + A_2^T A_2; \quad (9) \quad Q_2 = N_2^{-1}; \quad (10) \quad K_2 = \mu_2 V Q_2. \quad (11)$$

По аналогии находим матричные формулы для сетей последующих разрядов.

Процесс распределения ошибок для полуосей эллипса одноименных пунктов и ошибок положения и направления одноименных линий в различных разрядах сущности фрагментно представлен в табл. 1, анализ данных которой показывает, что многократ-

Таблица 1

Распределение ошибок для одноименных элементов многоразрядной сети

Разряд сети	Номера пунктов и направле- ний	1			II			III			IV		
I	3	5,30	4,76	1,85	1,78	0,90	0,39	0,96	0,38	0,95	0,95	0,95	0,95
II	5	5,26	4,46	1,66	1,57	0,80	0,38	0,95	0,38	0,95	0,95	0,95	0,95
III	7	5,50	5,26	2,02	1,92	1,92	0,38	0,95	0,38	0,95	0,95	0,95	0,95
IV	14	5,18	2,10	2,00	1,92	1,92	0,38	0,74	0,72	0,72	0,72	0,72	0,72
I	16	5,08	3,68	3,68	3,68	3,68	0,38	0,72	0,72	0,72	0,72	0,72	0,72
II	18	5,23	3,80	3,80	3,80	3,80	0,38	0,73	0,73	0,73	0,73	0,73	0,73

1. Полусои эллипсов ошибок

1.1. Большая полуось A , см

Разряд сети	Номера пунктов и направле- ний	1			II			III			IV		
I	3	3,30	2,81	1,10	1,08	0,85	0,39	0,98	0,38	0,95	0,95	0,95	0,95
II	5	3,80	4,40	1,45	1,38	0,38	0,95	0,95	0,95	0,95	0,95	0,95	0,95
III	6	4,43	4,43	1,69	1,61	0,38	0,95	0,95	0,95	0,95	0,95	0,95	0,95
IV	7	1,69	1,59	1,59	1,59	0,94	0,94	0,94	0,94	0,94	0,94	0,94	0,94
I	14	4,55	4,79	3,45	3,46	0,76	0,76	0,76	0,76	0,76	0,76	0,76	0,76
II	16	4,79	4,98	3,46	3,69	0,72	0,72	0,72	0,72	0,72	0,72	0,72	0,72
III	18	4,98	4,98	3,69	3,69	0,74	0,74	0,74	0,74	0,74	0,74	0,74	0,74

1.2. Малая полуось B , см

2. Средние квадратические ошибки измеренных направлений, с

Разряд сети	Номера пунктов и направле- ний	I			II			III			IV		
I	1—3	1,63	1,39	0,54	0,53	0,85	0,39	0,98	0,39	0,97	0,97	0,97	0,97
II	2—3	1,99	1,50	0,62	0,60	0,80	0,39	0,95	0,39	0,95	0,95	0,95	0,95
III	1—6	3,37	3,16	1,29	1,23	0,39	0,38	0,96	0,39	0,96	0,96	0,96	0,96
IV	4—6	4—6	1,22	1,17	0,39	0,39	0,75	0,75	0,75	0,75	0,75	0,75	0,75
I	9—10	5,12	3,86	0,39	0,39	0,39	0,39	0,75	0,75	0,75	0,75	0,75	0,75
II	11—18	6,07	4,58	0,39	0,39	0,39	0,39	0,75	0,75	0,75	0,75	0,75	0,75

3. Средние квадратические относительные ошибки сторон (10⁻⁵)

Разряд сети	Номера пунктов и направле- ний	I			II			III			IV		
I	2—3	0,94	1,14	2,91	3,02	0,82	0,39	0,96	0,39	0,95	0,95	0,95	0,95
II	4—6	0,48	1,26	1,33	0,38	0,27	0,37	0,71	0,27	0,71	0,71	0,71	0,71
III	11—18	0,27	0,37	0,37	0,37	0,37	0,37	0,71	0,37	0,71	0,71	0,71	0,71

ное существо сети повышает точность ее элементов, являющихся общими для каждого из рассматриваемых разрядов. Это можно объяснить существенным увеличением числа избыточных измерений и появлением дополнительных связей в рассматриваемых сетях сущности. В графах 7, 8 и 9 табл. 1 вычислены соотношения рассматриваемых ошибок последующего $i+1$ разряда сети к i -прежнему разряду. Функциональные связи этих соотношений свидетельствуют:

1. При поэтапной оценке точности одноименных элементов междуразрядные соотношения различных точностных параметров остаются стабильный характер.

2. Если производится строгая оценка точности при уравнивании сначала I разряда сети, а затем I и II, I, II и III и IV разрядов сети, то во II разряде точность рассматриваемых элементов I разряда повышается на 10...20% относительно I разряда, в III — на 60% и в IV — на 2...4% относительно соответственно второй и третьей очередей построения.

3. Если оцениваются элементы II разряда обоснования, то по схеме оценки точности, указанной в п. 2, точность их при переходе к III, а затем при переходе от III разряда к IV возрастает соответственно на 60% и 3...5%. При рассмотрении точностных характеристик элементов III разряда точность их при совместном уравнивании всех четырех разрядов улучшается примерно на 24...29% по сравнению с уравниванием сети III разряда.

Вторая часть исследования заключалась в определении коэффициента обеспечения точности k для всех параметров четырехразрядной сети по результатам строгой оценки точности. Численные значения этого коэффициента находили как отношения точностных характеристик соответствующих элементов высших разрядов к низшим. Для этой цели была составлена так называемая матрица соотношений различных междуразрядных связей для оцениваемых параметров различных стадий построения сети. Указанная матрица имеет вид

$$\begin{matrix} & & I-I & I-II & I-III & I-IV \\ & & II-I & II-II & II-III & II-IV \\ & & III-I & III-II & III-III & III-IV \\ & & IV-I & IV-II & IV-III & IV-IV \end{matrix}$$

состоит из отдельных блоков, массивы которых формировалось средними квадратическими ошибками направлений и длин линий. Римские цифры, которые именуют блоки, обозначают номер разряда сети. Блоки, расположенные по диагонали матрицы, составляют направления и линии, обозначаемые пунктами одноименных разрядов; блоки, находящиеся выше диагонали, характеризуются массивами направлений, которые измерялись в триангуляции; блоки, лежащие ниже диагонали, формируют направления, которые не участвовали, но определялись по точности. Для более ясного представления образования блоков массивами приведем их выборочную расшифровку в табл. 2.

Фрагменты массива оцениваемых величин

Таблица 2

Название блока	Название массива	Название блока	Название массива	Название блока	Название массива	Название блока	Название массива
I—I	1—3 2—3	II—I	1—7 2—6 3—5	III—I	3—10 2—16 1—18	IV—I	2—30 3—20 3—50
I—I	1—4	II—I	4—5	III—I	5—10	IV—I	5—42
I—I	1—5		4—6		6—19		7—44
I—I	1—6		4—7		7—11		7—53
I—I	1—16 2—15 3—18	II—I	5—15 6—11 7—19	III—I	8—15 10—17 12—19	IV—I	18—30 16—40 11—55
I—I	1—28 2—22	II—I	4—40 5—24 6—30	III—I	10—30 14—45 19—55	IV—I	20—44 29—30 40—47

Значения коэффициента обеспечения точности k определялись отоплением точностных характеристик элементов рассматриваемого блока матрицы к соответствующим ошибкам элементов предыдущего (слева лежащего) блока. Таким же образом значения k выводились в диагональных блоках по соотношениям ошибки блока II—I к блоку I—I, блока III—I к блоку II—I, блока IV—I к блоку III—I. Количество экспериментальных определений коэффициента k по блокам сведено в табл. 3, общее число этих определений составило 7136. Распределение этого количества соотношений ошибок согласно вычисленным значениям коэффициента обеспечения точности представлено в табл. 4.

Анализ данных табл. 4 приводит к следующим выводам:
1. При предварительном ответственных многоразрядных инже-

Таблица 3
Количественный перечень определения значений коэффициента обеспечения точности

Отношения ошибок	Кол-во	Отношения ошибок	Кол-во	Отношения ошибок	Кол-во
I—I	36	II—I	570	IV—I	648
I—I	180	II—I	624	IV—I	1230
I—I	300	II—I	520	IV—I	12
I—I	18	II—I	1320	IV—I	1
I—I	84	IV—I	648		
II—I	15	IV—I	880		
IV—I	15	IV—I	723		

Таблица 4
Распределение количества определений N коэффициента обеспечения точности k

k	N	k	N	k	N	k	N
1.0	254	1.6	717	2.2	194	2.8	140
1.1	458	1.7	353	2.3	209	2.9	104
1.2	523	1.8	437	2.4	312	3.0	36
1.3	712	1.9	244	2.5	129	3.1	54
1.4	587	2.0	270	2.6	127	3.2	47
1.5	723	2.1	258	2.7	114	3.3	15

периодических сетей значения коэффициента обеспечения точности не должны быть больше 3.

2. В практике проектирования многоразрядных построений можно выбирать значения k 1,1...1,8, руководствуясь при этом экономическими соображениями.

3. При переходе от одного разряда обоснования к другому коэффициент обеспечения точности не является постоянной величины.

В заключение отметим, что выполненные исследования не являются исчерпывающими, их следует продолжить применительно к инженерно-геодезическим сетям, различным по конструкции, соотношению точности и методам создания.

Список литературы: 1. Левчук Г. П., Новак В. Е., Конисов В. Г. Примерная геодезия: Основные методы и принципы инженерно-геодезических работ. — М.: Недра, 1981. 2. Павлова Г. К. Об установлении критерия влияния ошибок исходных данных при создании планового геодезического обоснования в георадарах. — Изв. вузов. Геодезия и аэрофотосъемка, 1973, № 6. 3. Павлова Г. К. К вопросу об определении критерия влияния ошибок исходных данных в геодезических сетях. — Изв. вузов. Геодезия и аэрофотосъемка, 1978, № 2.

Статья поступила в редакцию 25.04.84

УДК 524.235

Г. А. ШЕХОВЦОВ

ТЕОРЕТИЧЕСКИЕ ОСНОВЫ ПРИБОРОВ ТИПА «ПОДЕРОГРАФ»

Одним из критерии точности конкретного пункта геодезической сети является подъем эллипса ошибок, наиболее полно характеризующая точность положения точки на плоскости. Однако сложность построения подъема сдерживает их широкое применение на практике.

На кафедре инженерной геодезии Горьковского инженерно-строительного института им. В. П. Чкалова разработана серия приборов, позволяющих механизировать процесс геометрических построений подъемы. Они объединены под общим названием «Подерографы». Рассмотрим теоретические основы, включающие краткий кинематический анализ и методику использования двух таких приборов [2, 4], предназначенные для оценки точности маркишейдерско-геодезических построений.

Отличительная особенность рассматриваемых приборов — наличие двух шарнирных параллелограммов $ABCD$ и $LMNK$, шатуны которых BC и MN взаимно перпендикулярны (рис. 1, 2). Криволинии параллелограммов AB , DC и LM , MN закреплены шарнирно в точках A , D и L , K на неподвижном основании. В центре основания в точке O установлена ось вращения ведущего звена прибора, снаженного фиксаторами 1 и 2 , которые помешены в прорези шатунов BC и MN . При вращении ведущего звена при-